

FIG. 1
PRIOR ART

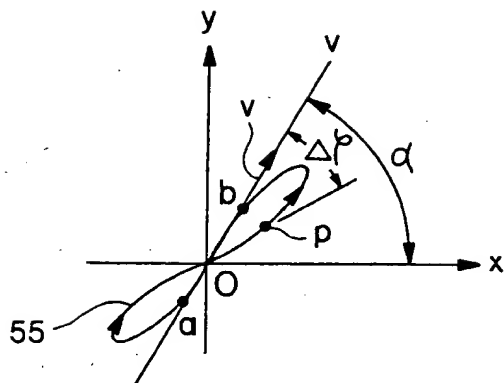


FIG. 2

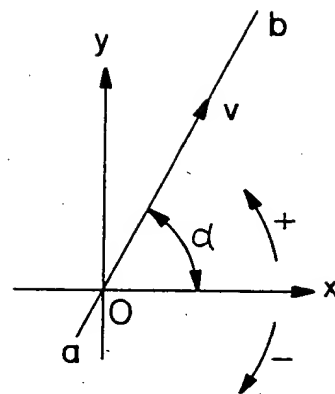


FIG. 3

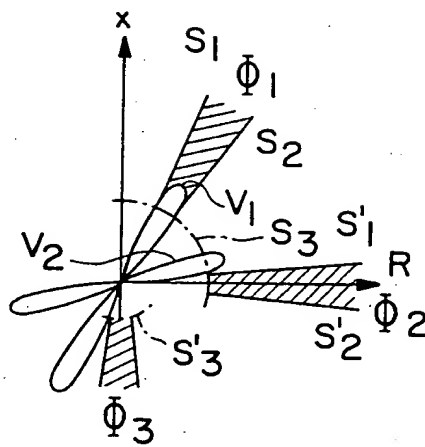
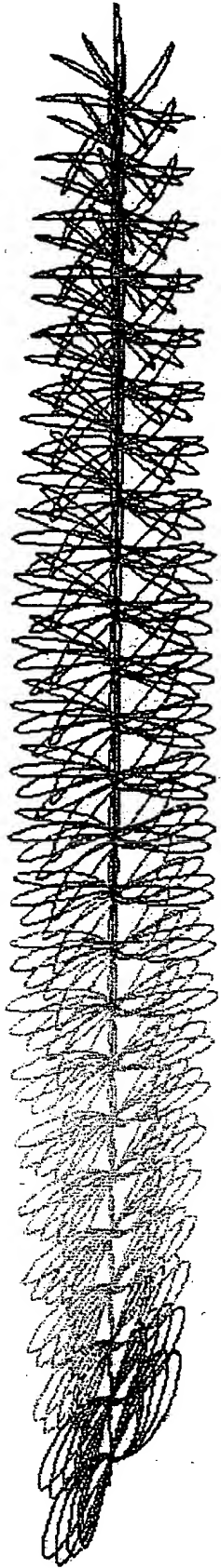


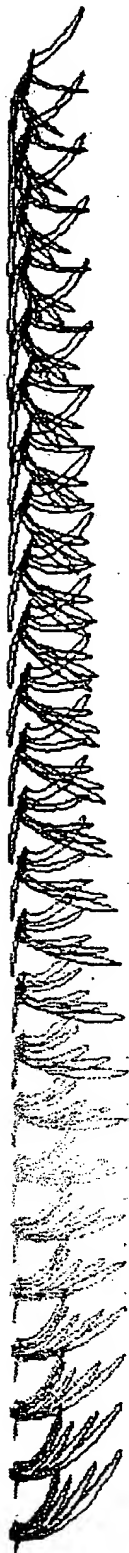
FIG. 4



kH _z	11	12	13	14	16	17	19	20	22	24	26	29	31	34	37	40	44	48	52	57	62	68	74	81	88
	a	b	c	d	e	f	g	h	i	j	k	l	m	n	o	p	q	r	s	t	u	v	w	x	y

FIG. 5

kHz 11 12 13 14 16 17 19 20 22 24 26 29 31 34 37 40 44 48 52 57 62 68 74 81 88



a b c d e f g h i j k l m n o p q r s t u v w x y

FIG. 6

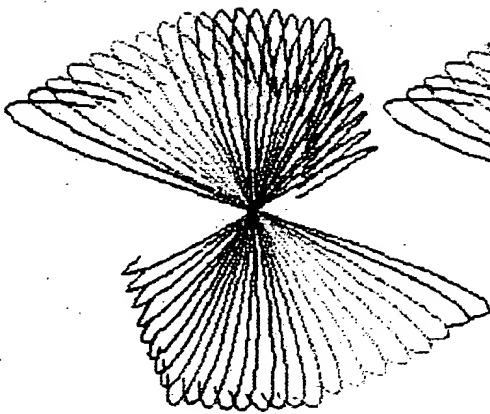


FIG. 7a

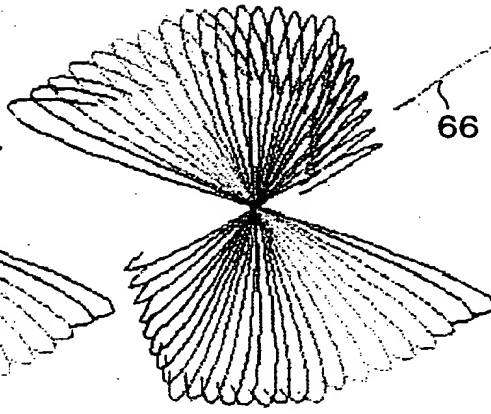


FIG. 7b

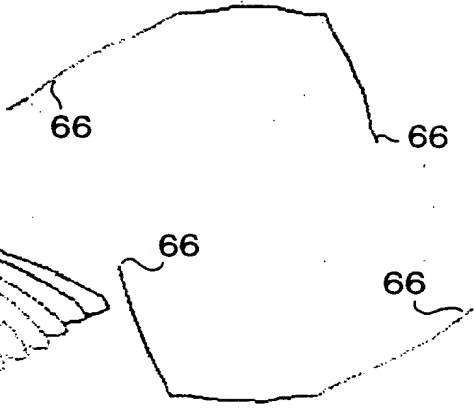


FIG. 7c

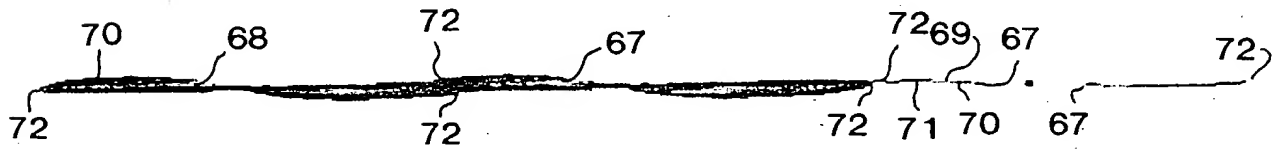


FIG. 8a

FIG. 8b

FIG. 8c

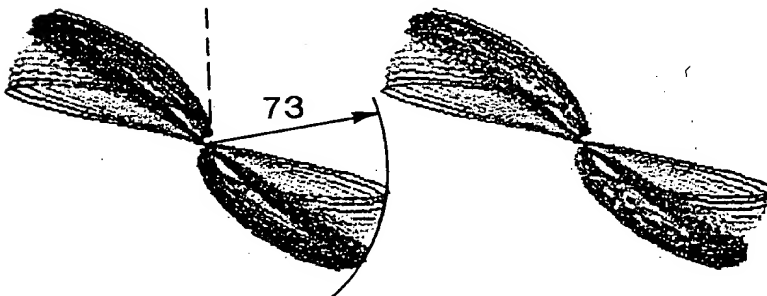


FIG. 9a

FIG. 9b

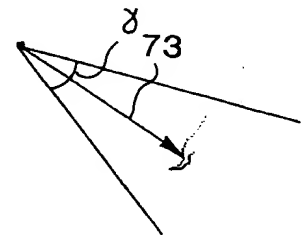


FIG. 9c

BEST AVAILABLE COPY



FIG. 10a



FIG. 10b

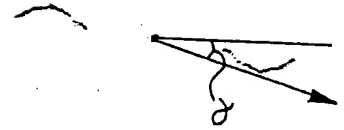


FIG. 10c



FIG. 11a

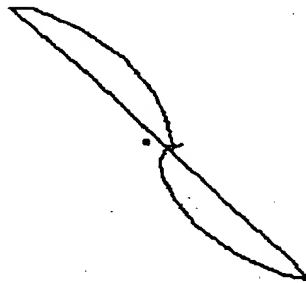


FIG. 11b



FIG. 11c



FIG. 12a

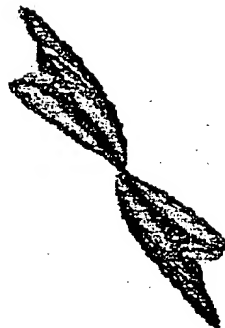


FIG. 12b

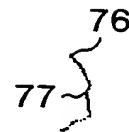


FIG. 12c





FIG. 10c



FIG. 11c

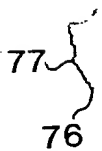
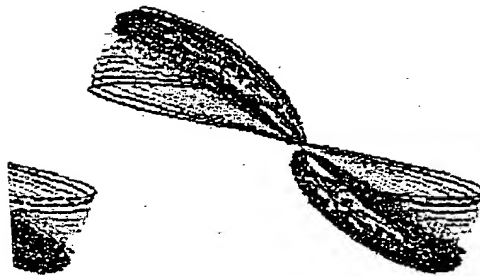


FIG. 12c



a

FIG. 13b

FIG. 13c

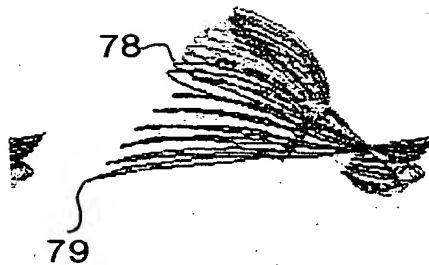


FIG. 14b

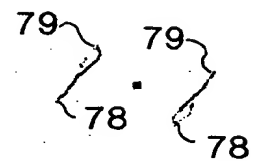


FIG. 14c

BEST AVAILABLE COPY

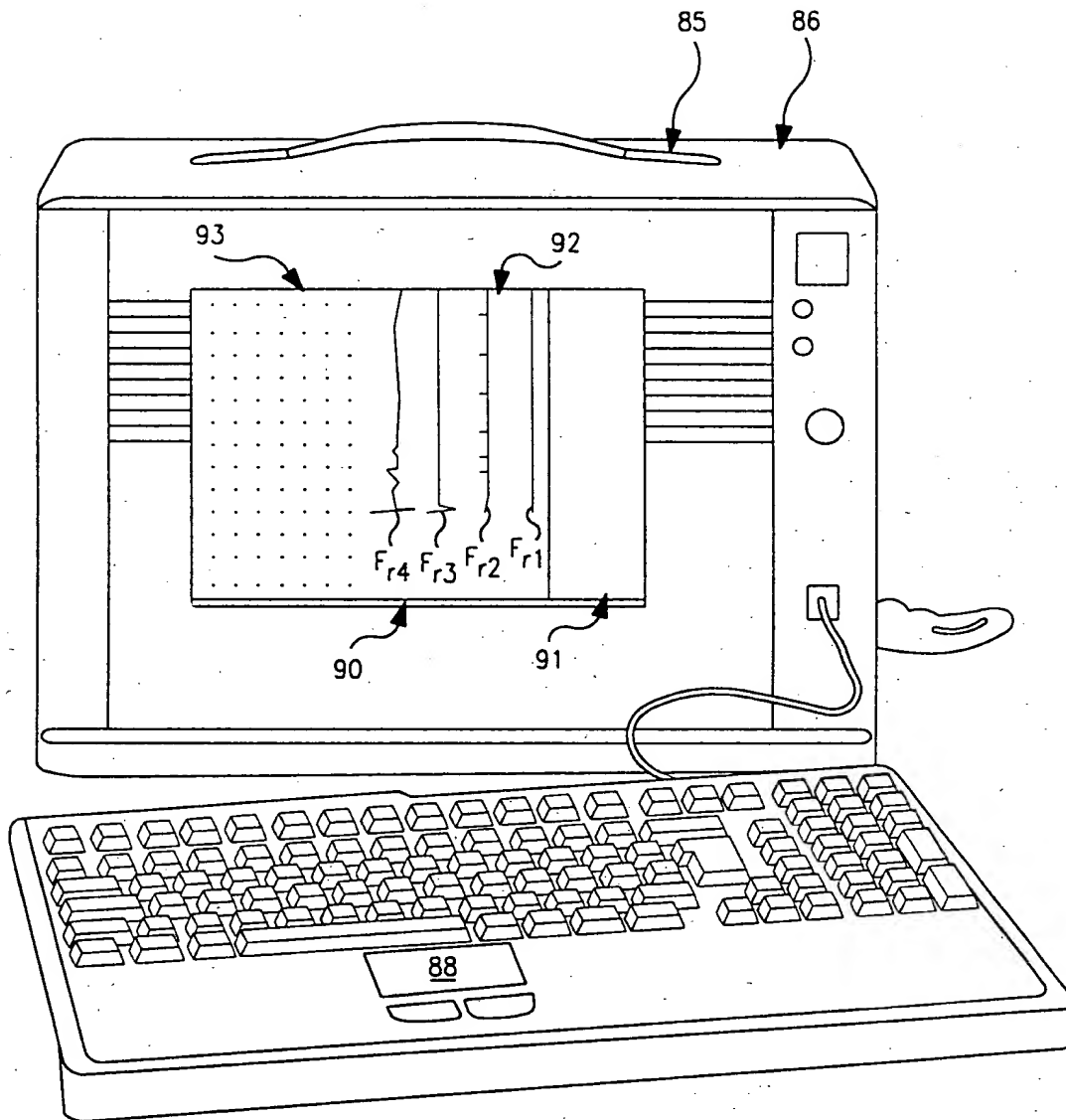
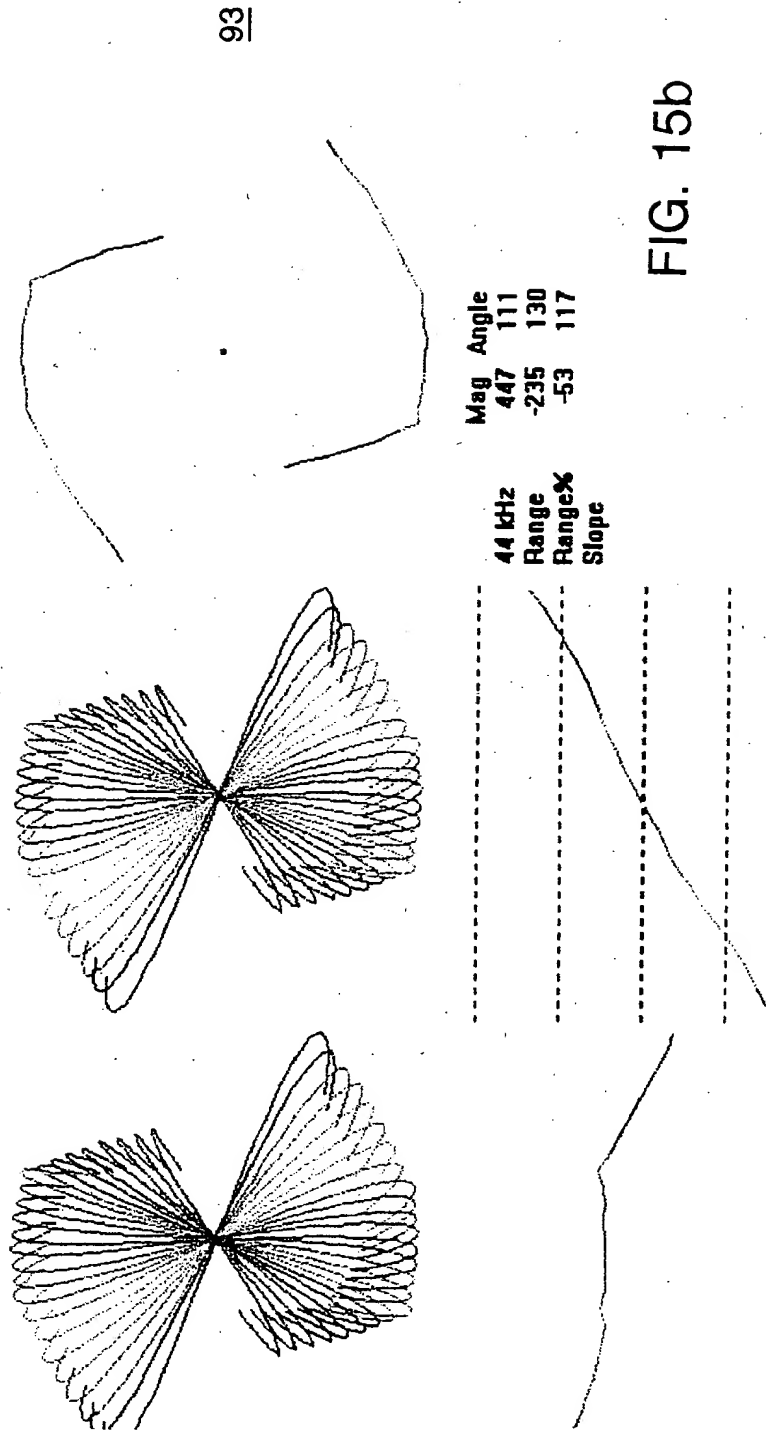
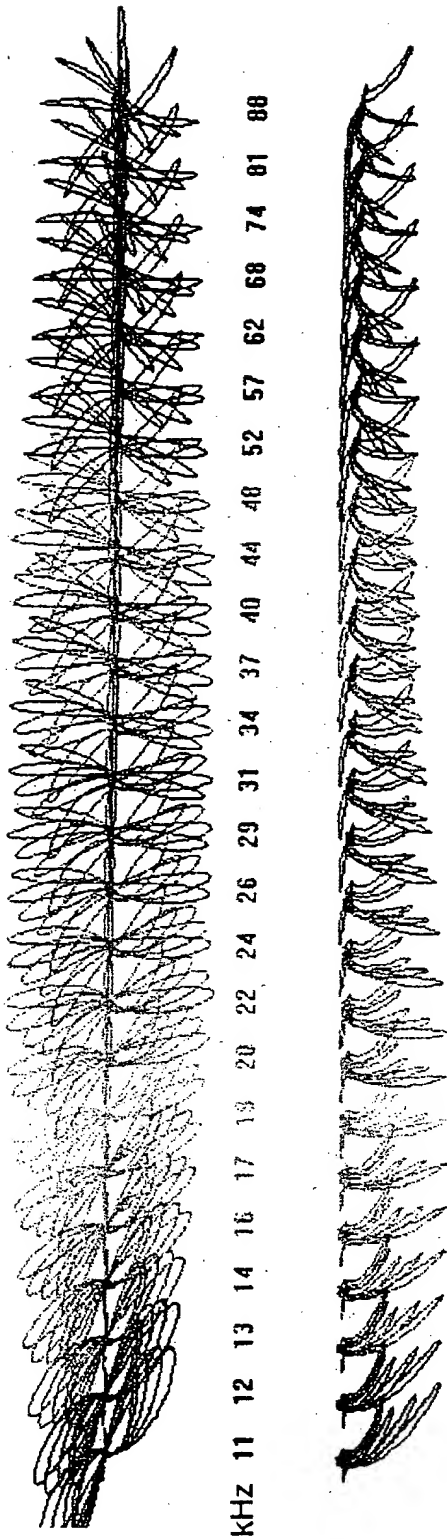


FIG. 15a



93

44 kHz	Mag	Angle
Range	447	111
Range%	-235	130
Slope	-53	117

FIG. 15b

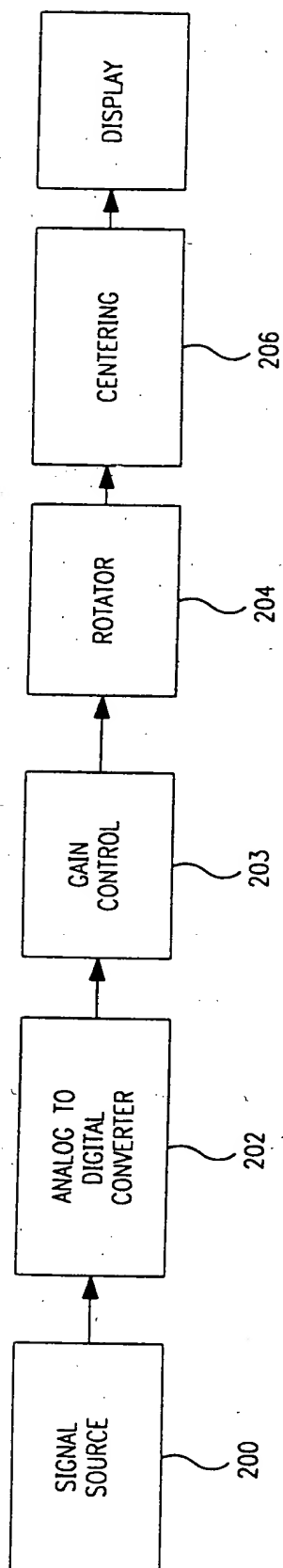


FIG. 16

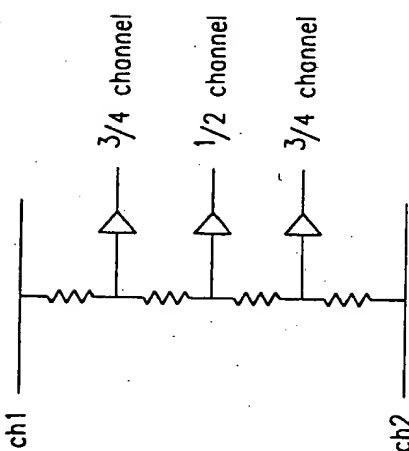


FIG. 17b

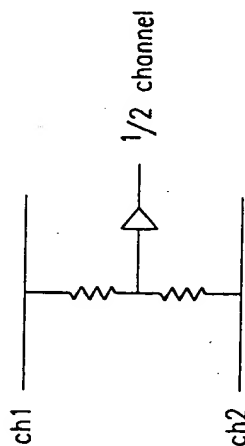


FIG. 17a

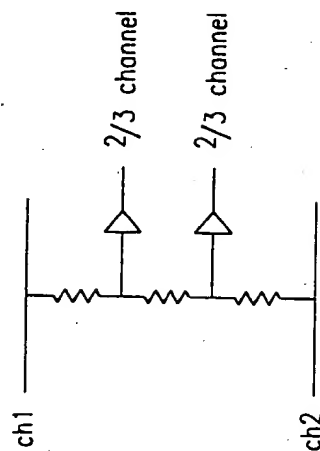


FIG. 17c

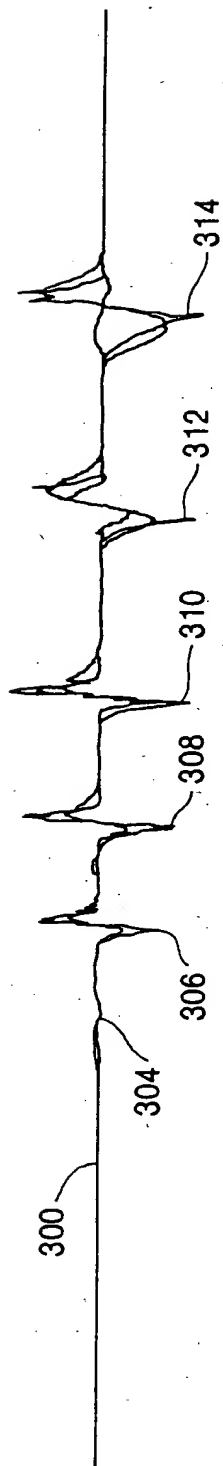


FIG. 18a

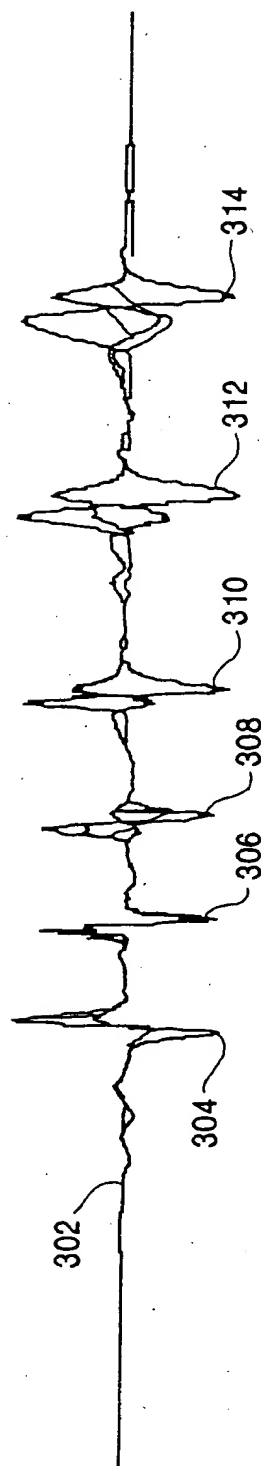


FIG. 18b